

APÉNDICE A

Se muestran los modelos de inversión 2D de los perfiles 2A, 1A, A, B, C y DE, obtenidos con el software comercial EarthImager 2D, cada uno presenta en orden descendente tres diferentes arreglos electrónicos diferentes Wenner (WW), Wenner-Schlumberger (WS) y Dipolo-Dipolo (DD).

Perfil 2A

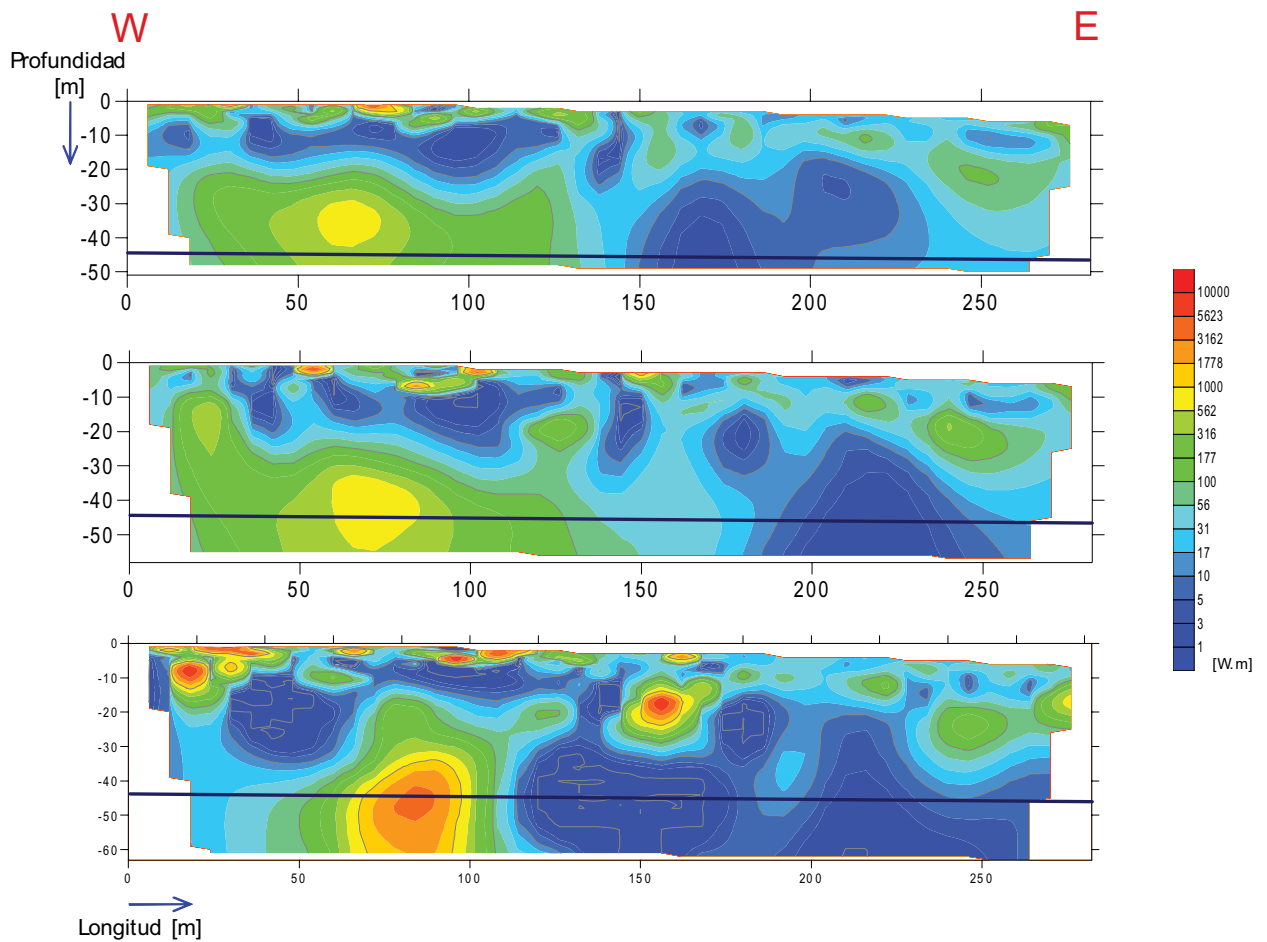


Figura A.1. Perfil 2A comparación de la configuración electrónica, en orden descendente Wenner (WW), Wenner-Schlumberger (WS) y Dipolo-Dipolo (DD)

Perfil 1A

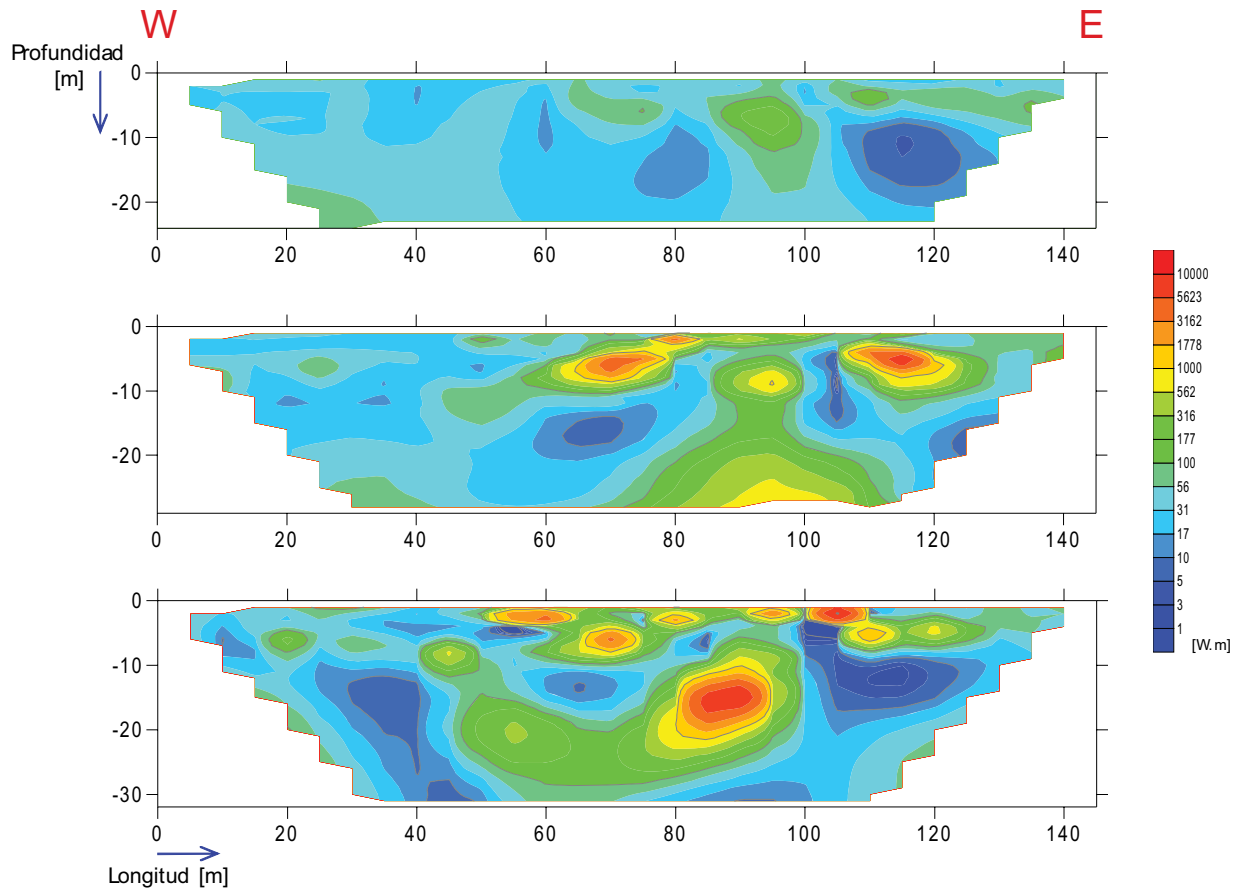


Figura A.2. Perfil 1A comparación de la configuración electrónica, en orden descendente Wenner (WW), Wenner-Schlumberger (WS) y Dipolo-Dipolo (DD).

Perfil A

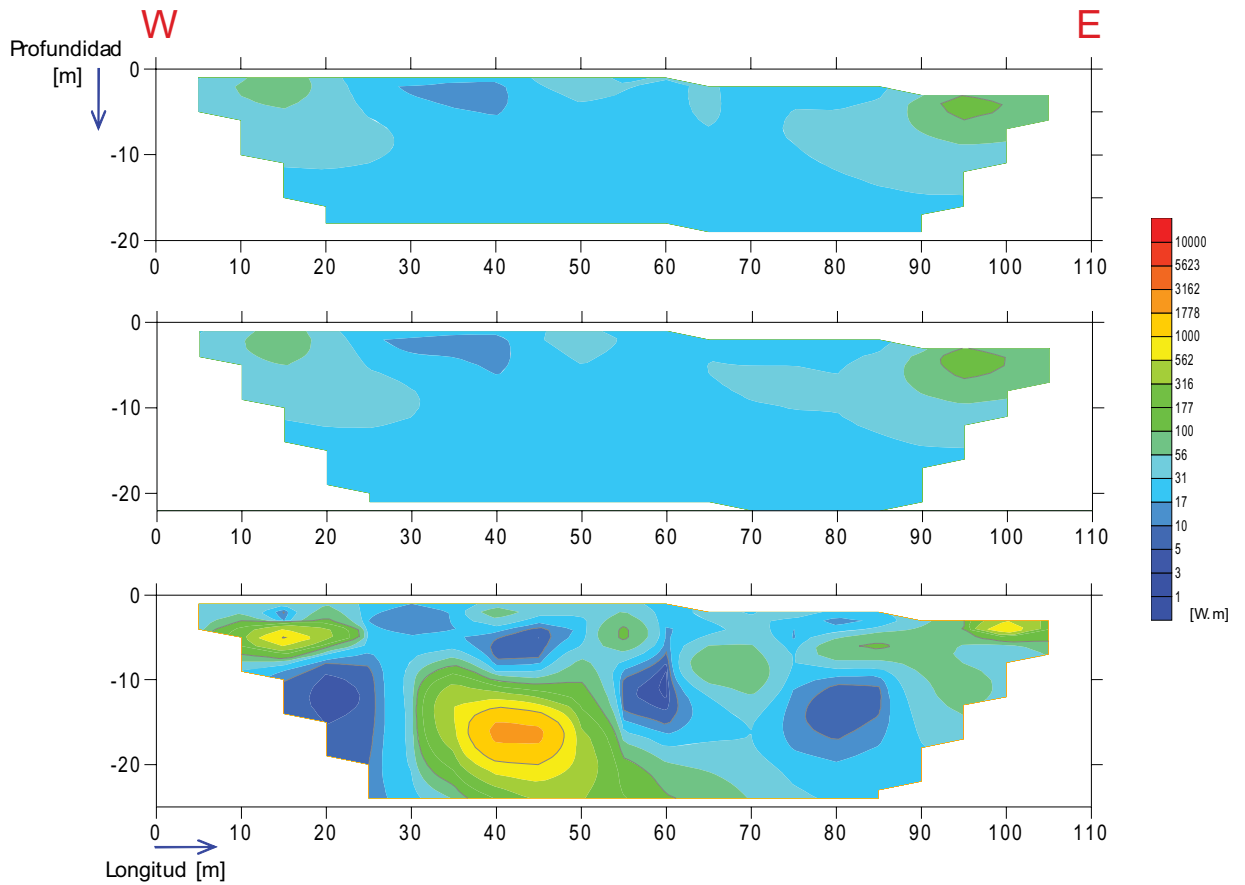


Figura A.3. Perfil A comparación de la configuración electródica, en orden descendente Wenner (WW), Wenner-Schlumberger (WS) y Dipolo-Dipolo (DD).

Perfil B

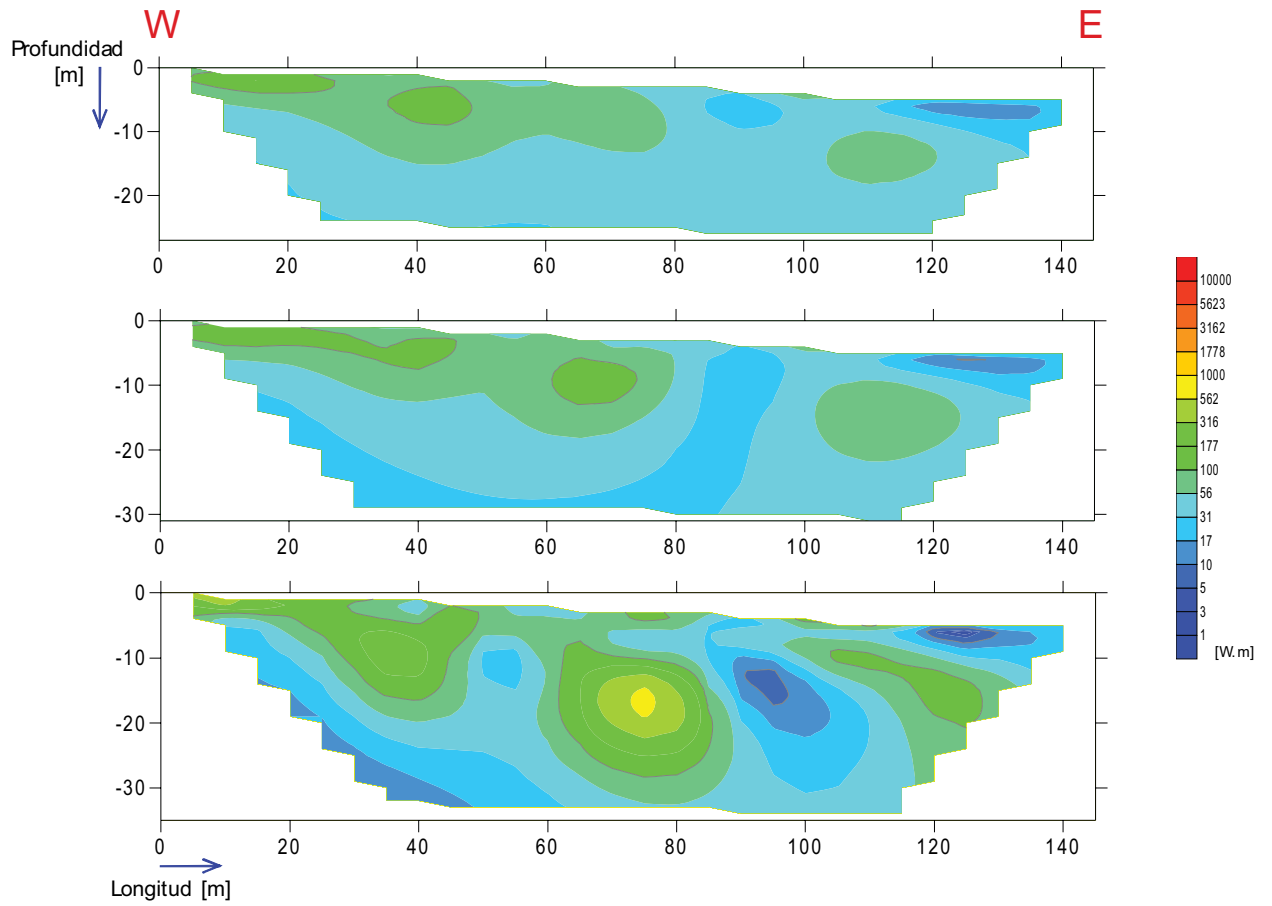


Figura A.4. Perfil B comparación de la configuración electrónica, en orden descendente Wenner (WW), Wenner-Schlumberger (WS) y Dipolo-Dipolo (DD).

Perfil C

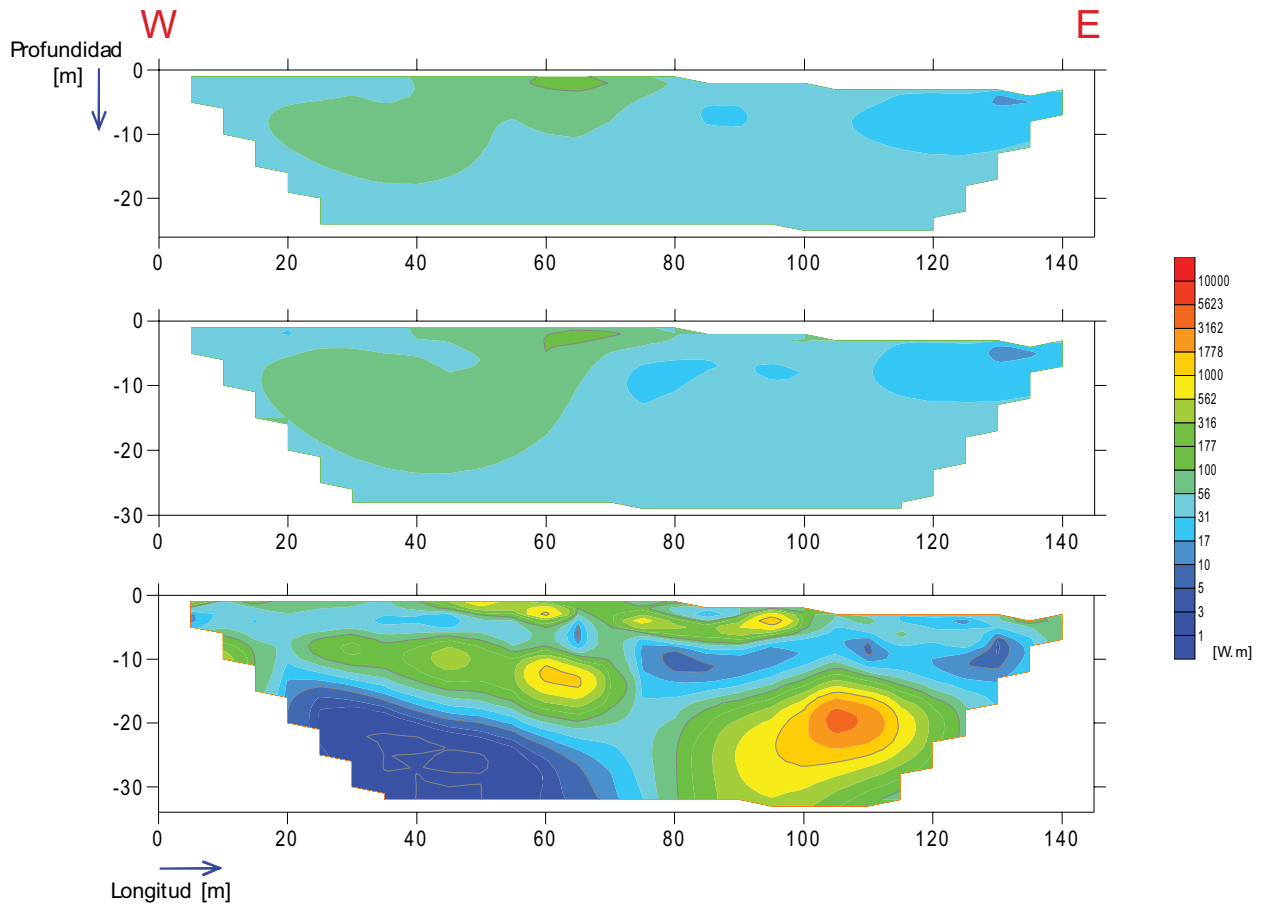


Figura A.5. Perfil C comparación de la configuración electrónica, en orden descendente Wenner (WW), Wenner-Schlumberger (WS) y Dipolo-Dipolo (DD).

Perfil DE

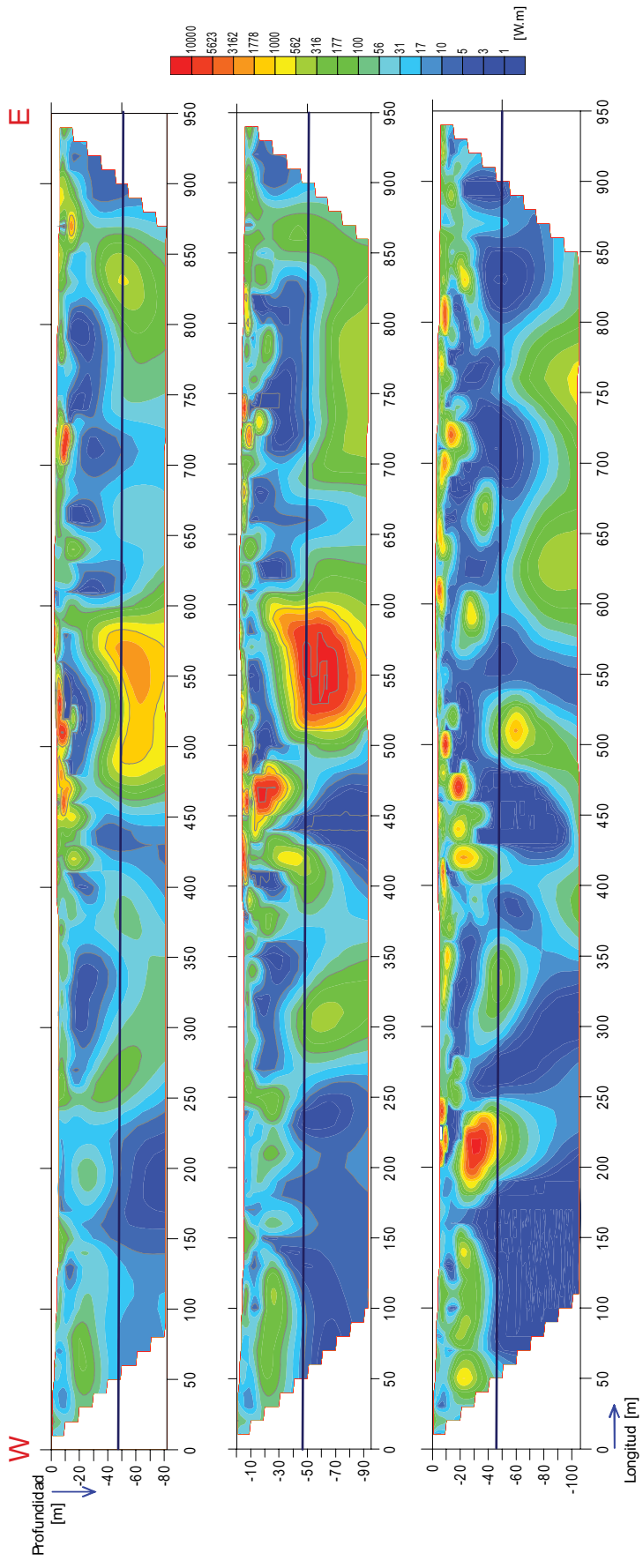


Figura A.6. Perfil DE comparación de la configuración electrónica, en orden descendente Wenner (WW), Wenner-Schlumberger (WS) y Dipolo-Dipolo (DD).

APÉNDICE B.

Fotografías tomadas en la zona de estudio (Hundimiento, 2010).

